

I-193 準肉曲線部材の曲げねじりの解析

早稲田大学 正員 平嶋政治
首都高速道路公団 ○正員 恵谷舜吾

1. まえがき

多角開断面の準肉曲線部材を対象とし、部材を構成する曲板に、平面保持の仮定を適用することにより、回転変形に起因するそり関数を決定し、変位と軸方向ひずみの関係を説明したものである。

2. 棒軸の変位と性質点の変位の関係

棒軸の変位前の単位ベクトルを \dot{e}_i で表す。棒軸の変位を \bar{w} (= $\bar{u}\dot{e}_1 + \bar{v}\dot{e}_2 + \bar{w}\dot{e}_3$)、又、棒軸を中心とする断面の回転角を ψ とすると、変位後の単位ベクトル e_i は次のように表わされる。

$$\left. \begin{aligned} e_1 &= \dot{e}_1 + \bar{w}|_{\theta_1} \dot{e}_2 + \bar{w}|_{\theta_1} \dot{e}_3 \\ e_2 &= -\bar{w}|_{\theta_1} \dot{e}_1 + \dot{e}_2 + \bar{w} \psi \dot{e}_3 \\ e_3 &= \bar{w}|_{\theta_1} \dot{e}_1 - \psi \dot{e}_2 + \dot{e}_3 \end{aligned} \right\} \quad \text{---(1)}$$

(但し、 $\bar{w}|_{\theta_1} = \bar{w}_{\theta_1} + \sqrt{\bar{u}^2 + \bar{v}^2}$)

平面保持の仮定を利用すると、(Fig-1)より

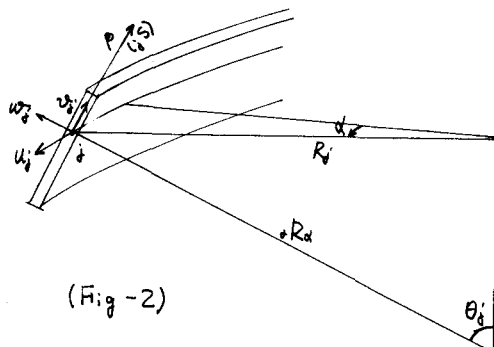
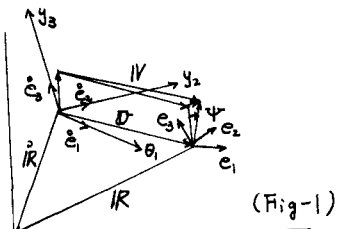
$$V(U, V, W) = \bar{w} + (e_2 - \dot{e}_2) \times y_2 + (e_3 - \dot{e}_3) \times y_3 \quad \text{---(2)}$$

(1)式を(2)式へ代入すると、次の棒軸の変位と、性質点の変位の関係を得る。

$$U = \bar{u} - \bar{w}|_{\theta_1} \times y_2 + \bar{w}|_{\theta_1} \times y_3 \quad \text{---(3)}$$

$$V = \bar{v} - \psi \times y_3 \quad \text{---(4)}$$

$$W = \bar{w} + \psi \times y_2 \quad \text{---(5)}$$



3. そり関数

1). 曲板の軸方向ひずみ； 曲板(i)の軸方向ひずみは、座標系 α - , β - , γ -を主曲率方向に定めると次式で表わされる。

$$E_j = \frac{1}{jA} U_j \alpha + \frac{jA_j \alpha}{jA_j B} V_j + \frac{1}{jR_\alpha} W_j \quad \text{---(6)}$$

A, B : ラメのパラメータ . R_α ; α -軸の主曲率 .

2). 平面曲線部材のそり変位； (3)式において、 $\bar{w} = R_f \times \psi$, $y_2 = jS$, $y_3 = 0$ とし、平面曲線における $R_{\theta_1}^{(2)} = 0$ であることを利用すると、曲板(i)のそり変位は次式で表わされる。

$$U_j = U_j - (R_f \times jS) \psi|_{\theta_1} = (1 - jR_f^2) U_j - \frac{R_f \times jS}{jA_0} \psi|_{\alpha} \quad \text{---(7)}$$

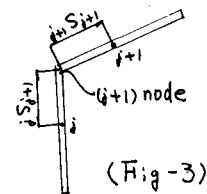
R_f ; 回転中心から曲板(i)への垂線の長さ . $jA_0 = jA(D)$. U_j ; 中立点の変位 .

(6)式、(7)式より、そりひずみは次式である。

$$E_j = \frac{1}{jA} (1 - jR_f^2) U_j \alpha - \frac{R_f \times jS}{jA_0} \psi|_{\alpha} \quad \text{---(8)}$$

3) そり関数： 断面を構成する曲板間のひずみの連続条件 [$\varepsilon_j(s_j) = \varepsilon_{j+1}(s_{j+1})$, (Fig-3) 参照] は、(8)式を用いて次のようになる。

$$\left. \begin{aligned} \frac{1}{zA} (1 - z\Gamma_{10}^2) u_{2,\alpha} - \frac{1}{A} (1 - \Gamma_{10}^2) u_{b,\alpha} &= \left\{ -\bar{\Omega}_1(zs_2) + \bar{\Omega}_2(zs_2) \right\} \times \psi_{\alpha,\alpha} \\ \frac{1}{zA} (1 - z\Gamma_{10}^2) u_{3,\alpha} - \frac{1}{zA} (1 - \Gamma_{10}^2) u_{2,\alpha} &= \left\{ -\bar{\Omega}_2(zs_3) + \bar{\Omega}_3(zs_3) \right\} \times \psi_{\alpha,\alpha} \\ \frac{1}{nA} (1 - n\Gamma_{10}^2) u_{n,\alpha} - \frac{1}{nA} (1 - \Gamma_{10}^2) u_{n+1,\alpha} &= \left\{ -\bar{\Omega}_{n-1}(ns_n) + \bar{\Omega}_n(ns_n) \right\} \times \psi_{\alpha,\alpha} \end{aligned} \right\} \quad \dots \quad (9)$$



(Fig-3)

断面(i)の中立点の軸方向変位は u_i を未知関数として、(9)式より次式で表わされる。

$$\frac{1}{nA} (1 - n\Gamma_{10}^2) u_{n,\alpha} = \frac{1}{A} (1 - \Gamma_{10}^2) u_{i,\alpha} + \sum_{j=1}^{n-1} \left\{ -\bar{\Omega}_j(s_{j+1}) + \bar{\Omega}_{j+1}(s_{j+1}) \right\} \times \psi_{\alpha,\alpha} \quad \dots \quad (11)$$

4) は、回転変位に起因するそりひずみにより、断面に軸力を生じない条件 ($\sum_{j=1}^n \varepsilon_j dF_j = 0$) より定まる。

$$\frac{1}{A} (1 - \Gamma_{10}^2) u_{i,\alpha} = \sum_{j=1}^k \left[\sum_{l=1}^{i-1} \left\{ -\bar{\Omega}_l(s_{l+1}) + \bar{\Omega}_{l+1}(s_{l+1}) \right\} \times \psi_{\alpha,\alpha} \right] F_j \quad \sum_{j=1}^k F_j \quad (12)$$

(12)式を(11)式入代入して α で表すと

$$\begin{aligned} \frac{1}{nA} (1 - n\Gamma_{10}^2) u_i &= \bar{\Omega}_n(ns) \times \psi_{\alpha,\alpha} + C_1 \\ \bar{\Omega}_n(ns) &= \sum_{j=1}^k \left[\sum_{l=1}^{i-1} \left\{ -\bar{\Omega}_l(s_{l+1}) + \bar{\Omega}_{l+1}(s_{l+1}) \right\} F_j \right] \sum_{j=1}^k F_j + \\ &\quad + \sum_{j=1}^k \left\{ -\bar{\Omega}_j(s_{j+1}) + \bar{\Omega}_{j+1}(s_{j+1}) \right\} \end{aligned} \quad (13)$$

(13)式において、 C_1 は、断面全体の剛体変位を示しているので、 $C_1 = 0$ とすることができる。(13)式を(7)式へ代入しく、次式が得られる。

$$y_3 = (\bar{\Omega}_j - \frac{k_i \times s}{jA_0}) \psi_{\alpha,\alpha} \quad \dots \quad (14)$$

断面の輪廓線上のそり変位の分布を $\bar{\Omega}(s)$ で表す。

4. 円曲線部材

円曲線部材の場合には、幾何学量は次式で表わされる。

$$\left. \begin{aligned} A &= R_j - s \cos \theta_j; \quad A_0 = R_j \\ B &= 1; \quad R_\alpha = \frac{R_j - s \cos \theta_j}{\sin \theta_j} \\ \Gamma_{10}^2 &= \frac{\cos \theta_j}{R_j}; \quad \Gamma_{10}^3 = \frac{\sin \theta_j}{R_j} \end{aligned} \right\} \quad (15)$$

(Fig-2), (Fig-4) 参照

前記の諸式へ(15)の値を代入すれば、円曲線部材の式を得る。

1). そり中心； そり関数 $\bar{\Omega}(s)$ は、断面形状と、回転を考える位置が定まれば、一義的に決定される。G 点(断面の重心)を定めた、そり関数を $\bar{\Omega}_G$ とする。任意点(A)まわりの回転を考えると、G 点は、 y_2 , y_3 軸方向にそれぞれ次の変位を受ける。

$$\bar{v} = a_3 \times \psi, \quad \bar{w} = -a_2 \times \psi \quad (16)$$

A 点に関するそり関数を $\bar{\Omega}_A$ とすると、(3)式を考慮して、次式で表わされる。

$$\bar{\Omega}_A = \bar{\Omega}_G + \frac{y_2}{R_0} a_3 - \frac{y_3}{R_0} a_2 \quad (17)$$

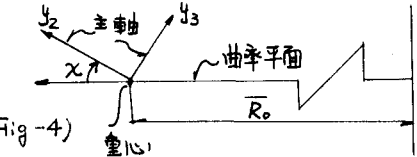
そりひずみは (8)式へ(17)式を代入することにより次式となる。

$$\varepsilon_A = \frac{1}{R(s)} \times \left\{ \bar{\Omega}_G + \frac{y_2}{R_0} a_3 - \frac{y_3}{R_0} a_2 \right\} \times \psi_{\alpha,\alpha} = \bar{\Omega}_A \psi_{\alpha,\alpha} \quad (18)$$

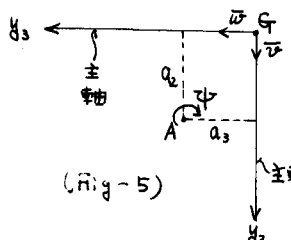
A 点とて、A 点に関するそりひずみが、断面の曲げモーメントと独立である点をえらぶとは、(18)式のひずみは、条件 $\int_A \varepsilon_A y_2 dF = \int_F \varepsilon_A y_3 dF = 0$ を満足しなければならない。この条件式に(18)式を代入し、次式を得る。

$$a_2 = R_0 \times \frac{J_{y_2} y_3}{J_{y_3}}, \quad a_3 = -R_0 \frac{J_{y_2}}{J_{y_3}} \quad (19)$$

$$\text{但し } J_{y_2} = R_0 \int_F \frac{y_2}{R} dF, \quad J_{y_3} = R_0 \int_F \frac{y_3}{R} dF, \quad J_{x_2 y_2} = R_0 \int_F \frac{\bar{\Omega}_A y_2}{R} dF, \quad J_{x_3 y_3} = R_0 \int_F \frac{\bar{\Omega}_A y_3}{R} dF$$



(Fig-4)



(Fig-5)

(4)式で定められる点A(a_2, a_3)を、そり中心とする。

2). 变位と軸方向ひずみの関係；そり中心で表わされる变位を、 u, v, w, ψ とする。重心の变位は、

$$\bar{u} = \frac{R_0}{R_0} u, \quad \bar{v} = v + a_3 \psi, \quad \bar{w} = w - a_2 \psi \quad (20)$$

断面上の任意点の变位は(3)式、(4)式、(5)式、(17)式で与えられる。特に、軸方向变位は次式で与えられる。

$$U = \left(1 + \frac{\cos X}{R_0} y_2 + \frac{\sin X}{R_0} y_3\right) \bar{u} + \frac{y_2}{R_0} \bar{v}_{,x} + \frac{y_3}{R_0} \bar{w}_{,x} + \bar{\Omega}_A \quad (21)$$

又、曲板(4)の变位は次式で表わされる。

$$\left. \begin{aligned} U_j' &= U \\ V_j' &= -V \times \cos(\theta_j - x) + W \times \sin(\theta_j - x) \\ W_j' &= V \times \sin(\theta_j - x) + W \times \cos(\theta_j - x) \end{aligned} \right\} \quad (22)$$

(6)式へ(2)式を代入すると、円曲線部材のひずみを表わす式として次式を得る。

$$\begin{aligned} \epsilon_j &= \frac{1}{R_j - j \sin \theta_j} \times \left[\left(\left(1 + \frac{\cos X}{R_0} y_2 + \frac{\sin X}{R_0} y_3\right) \times u_{,x} + \frac{y_2}{R_0} \times v_{,xx} + \frac{y_3}{R_0} \times w_{,xx} + \bar{\Omega}_A \times \psi_{,xx} \right. \right. \\ &\quad + \left\{ \cos \theta_j \times \cos(\theta_j - x) + \sin \theta_j \times \sin(\theta_j - x) \right\} \times v \\ &\quad + \left\{ -\cos \theta_j \times \sin(\theta_j - x) + \sin \theta_j \times \cos(\theta_j - x) \right\} \times w \\ &\quad + \left[\left\{ -\cos \theta_j \times \sin(\theta_j - x) + \sin \theta_j \times \cos(\theta_j - x) \right\} \times (y_2 - a_2) + \right. \\ &\quad \left. \left. - \left\{ \cos \theta_j \times \cos(\theta_j - x) + \sin \theta_j \times \sin(\theta_j - x) \right\} \times (y_3 - a_3) \right] \times \psi \right] \end{aligned} \quad (23)$$

5. 結び

円曲線部材以外の平面曲線部材では、そり中心が曲率に依存するために、横断面の定義面に、そり中心を定めることができないが、断面上の一定点を棒軸として定めれば(2)式の説明と同様に、(4)式を用いて、棒軸の变位と軸方向ひずみの関係式を導くことができる。

以上の考察をもとに、釣り合の方程式を導くことが、今後の課題として、残されている。

参考文献

- 平嶋政治、矢島鎧司；Baustatischer Beitrag zur Elastischen Dünnwandige Stäbe
(早大、理工学研究報告、第45号、1969)
- F.H. Schroeder；Allgemeine Stabtheorie des dünnwandigen räumlich vor gekrummten und vorge wanderten Träger mit großen Verformungen.
(Ingenieur-Archiv. 39, 1970)
- K. Washizu；Variational Methods in Elasticity and Plasticity (Pergamon Press Oxford)
- 深沢泰晴；薄肉曲線材の静力学的解析に関する基礎的理論 (土木学会論文集、第110号、昭39)
- 小西一郎、小松定夫；薄肉曲線材の基礎理論 (土木学会論文集、第87号、昭37)

注 1) 平面曲線部材においては、横断面と、曲率平面とのなす角度も、変化しない状態を考えていいので、 $\Gamma_{\theta_j}^z = 0$ が成り立つ。